## (t-C<sub>4</sub>H<sub>9</sub>)<sub>2</sub>S<sub>2</sub> を用いた MoS<sub>2</sub> 薄膜作製および S/Mo 比の硫化条件依存

Fabrication of MoS<sub>2</sub> thin film using (t-C<sub>4</sub>H<sub>9</sub>)<sub>2</sub>S<sub>2</sub> and sulfurization condition dependence on S/Mo ratio

<sup>○</sup>石原 聖也 <sup>1,4</sup>,日比野 祐介 <sup>1</sup>,澤本 直美 <sup>1</sup>,大橋 匠 <sup>2</sup>,松浦 賢太郎 <sup>2</sup>, 町田 英明 <sup>3</sup>,石川 真人 <sup>3</sup>,須藤 弘 <sup>3</sup>,若林 整 <sup>2</sup>,小椋 厚志 <sup>1</sup> 明治大 <sup>1</sup>,東工大 <sup>2</sup>,気相成長(株) <sup>3</sup>,学振特別研究員 <sup>4</sup>

°S. Ishihara<sup>1,4</sup>, Y. Hibino<sup>1</sup>, N. Sawamoto<sup>1</sup>, T. Ohashi<sup>2</sup>, K. Matsuura<sup>2</sup>,

H. Machida<sup>3</sup>, M. Ishikawa<sup>3</sup>, H. Sudoh<sup>3</sup>, H. Wakabayashi<sup>2</sup>, and A. Ogura<sup>1</sup>

Meiji Univ.<sup>1</sup>, Tokyo Tech<sup>2</sup>, Gas-phase Growth Ltd.<sup>3</sup>, JSPS Research Fellow<sup>4</sup>

 $E\text{-mail: }s\_ishihara@meiji.ac.jp$ 

**背景:** 遷移金属ダイカルコゲナイドの一種であ る MoS2はディスプレイ用途として優れた特性 を有し、大面積・低温・低不純物成膜手法での MoS2 薄膜作製は次世代 LCD 実現に貢献する と期待される。これまでに我々は、高温スパッ タ MoS<sub>2</sub> 薄膜に対し有機硫黄原料(t-C<sub>4</sub>H<sub>9</sub>)<sub>2</sub>S<sub>2</sub> を 用いた硫化アニールを施すことで膜中硫黄欠 損を補填し、S/Mo 比改善により薄膜の電気特 性が向上することを示してきた[1]。図1に (t-C<sub>4</sub>H<sub>9</sub>)<sub>2</sub>S<sub>2</sub>、および一般的な硫黄原料である S 粉末、H<sub>2</sub>S の蒸気圧曲線を示す[2]。(t-C<sub>4</sub>H<sub>9</sub>)<sub>2</sub>S<sub>2</sub> は S 粉末と比較し低温でも高い蒸気圧を有す るため生産性に優れ、また H2S と比較し毒性 や爆発性などの危険性がない。本研究では、 (t-C<sub>4</sub>H<sub>9</sub>)<sub>2</sub>S<sub>2</sub>の硫化反応速度の温度依存、雰囲気 依存について調査したため報告する。

実験:  $MoS_2$  薄膜は電子ビーム蒸着金属 Mo 薄膜を(t- $C_4H_9$ ) $_2S_2$  で硫化することで作製した。硫化温度は 200-440°C、雰囲気は  $N_2$ 、 $H_2$  と変化させ、各条件につき膜中の S/Mo 比を XPS により算出することで硫化反応速度を比較した。また密度汎関数理論(DFT)により生成エンタルピー変化を求めることで(t- $C_4H_9$ ) $_2S_2$  の分解過程を調査した。基底関数は B3LYP/3-21G、計算プログラムは PC GAMESS/Firefly[3, 4]を用いた。

結果:硫化温度上昇に従い S/Mo 比が増加し、 $N_2$ 雰囲気中では  $440^{\circ}$ C で S/Mo=2.0 となることが確認された。また  $H_2$ 雰囲気中では低温でも反応が進行し、 $400^{\circ}$ C で S/Mo=2.0 となることが確認された。DFT により、 $H_2$ 雰囲気中で生成エンタルピー変化が最小となり、 $(t-C_4H_9)_2S_2$ の分解が促進されることが確認された。

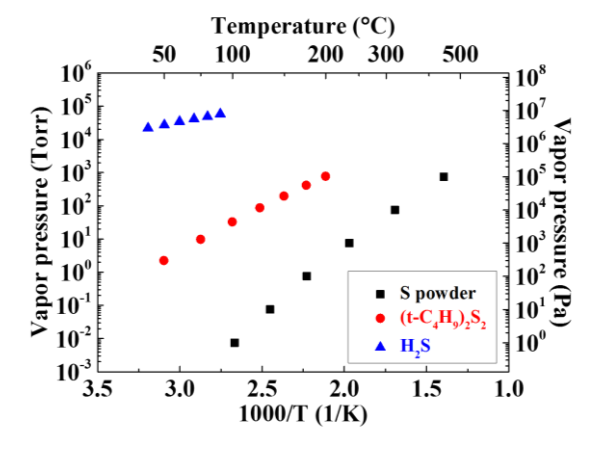


Fig. 1 Temperature dependent vapor pressures of  $(t-C_4H_9)_2S_2$ , S powder, and  $H_2S$ .

## 参考文献:

[1] S. Ishihara, *et al.*, Jpn. J. Appl. Phys. **55**, 04EJ07 (2015). [2] R. Hultgren, *et al.*, Metals Park, American Society for Metals, Ohio 1973. [3] A. A. Granovsky, Firefly version 8. [4] M. W. Schmidt, *et al.*, J. Comput. Chem. **14**, 1347-1363 (1993).